

# 计算非线性平板光波导的 TE 波 截止值的精确公式

陈智浩 陈曦曜 赖恒 戴宜欢

(福建师范大学物理系,福州 350007)

**摘要** 本文推导了计算非线性薄膜对称平板光波导 TE 模截止值的精确公式。给出了两个例子,计算结果与文献的结果吻合。本文的方法具有计算简单,适用范围广的特点。

**关键词** 非线性光学;集成光学;光波导

## 1. 引言

目前,由非线性材料构成的平面光波导正引起人们极大的兴趣。这种光波导在实际中有着十分重要的应用<sup>[1,2]</sup>通过薄膜导引的非线性波导,由于它们在技术上容易实现,所以在非线性导波光学研究中受到特别的重视。

在波导设计中,截止波数或频率是非常重要的参数。本文研究非线性平板光波导 TE 波截止值的计算,其中薄膜是非线性的(克尔型),基板和包层是线性的,并假设波导结构是对称的。文献[3—5]提出的方法都可以计算这种波导的截止值。但是这些方法都需要复杂的数字运算,即使解析解也不例外。最近,本文作者<sup>[6]</sup>对这种波导的色散方程作了重大的简化,导出了计算非线性对称平板光波导 TE 波截止值的显式公式。尽管显式公式十分简单而且具有较高的精度,但是,其适用的范围有一定的限制。本文给出了计算这种波导 TE 波截止值的新公式。该公式的特点是适用范围广。在计算截止波数或频率时,新公式与文献[6]一样,也是很简单的,采用普通计算器甚至手算(和查表)即能求出。

## 2. 截止公式

图 1 是对称平板光波导结构图。图中薄膜是非线性的;包层是线性的;薄膜的介电常数  $\epsilon_f = \epsilon_1 + \alpha |E|^2$ , 其中  $\epsilon_1$  是零功率时薄膜的介电常数,  $\alpha$  是非线性系数,  $E$  是本地电场;  $\epsilon_2$  是包层介电常数;  $d$  是波导芯层半宽度;  $A$  是波导芯层电场最大值。

设  $\xi^2 = \beta^2 - k^2 \epsilon_2$ , 其中  $k$  为真空中波数,  $\beta$  为传播常数。TE 波截止时,  $\beta = k\sqrt{\epsilon_2}$  即  $\xi = 0$ 。下面分两种情形讨论。

(1) 自聚焦情形 ( $\alpha > 0$ )

(a) 若光功率密度  $\alpha A^2 > 2(\epsilon_2 - \epsilon_1)$ , 由文献[4]可得  $TE_N$  ( $N$  是模数) 波满足的截止方程:

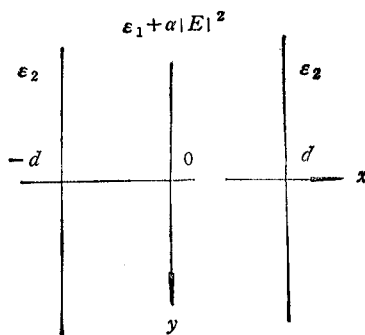


图 1 光波导结构

$$\operatorname{sn}(\nu_N d | m) = 0, \quad (\text{偶模 } N = 0, 2, 4, \dots) \quad (1)$$

$$\operatorname{cn}(\nu_N d | m) = 0, \quad (\text{奇模 } N = 1, 3, 5, \dots) \quad (2)$$

其中  $\nu_N$  表示截止时薄膜中有效横向传播常数,  $m$  表示 Jacobi 椭圆函数的模量, 它们分别为

$$\nu_N = k(\varepsilon_1 - \varepsilon_2 + \alpha A^2)^{1/2}, \quad m = \alpha A^2 / [2(\varepsilon_1 - \varepsilon_2 + \alpha A^2)] \quad (3)$$

根据 Jacobi 椭圆函数的性质<sup>[7]</sup>, 由(1)和(2)式, 得

$$\nu_N d = NK(m), \quad (N = 0, 1, 2, 3, \dots) \quad (4)$$

其中  $K(m)$  为<sup>[7]</sup>

$$K(m) = [a_0 + a_1 m_1 + a_2 m_1^2] + [b_0 + b_1 m_1 + b_2 m_1^2] \ln(1/m_1)$$

$$m_1 = 1 - m, \quad (0 \leq m < 1)$$

$$a_0 = 1.3862944 \quad b_0 = 0.5$$

$$a_1 = 0.1119723 \quad b_1 = 0.1213478$$

$$a_2 = 0.0725296 \quad b_2 = 0.0288729$$

对于线性情形  $\alpha = 0$ , 即  $m = 0$ , (4)式就退化为

$$kd(\varepsilon_1 - \varepsilon_2)^{1/2} = N\pi/2 \quad (5)$$

这与文献[8]的结果一样。

(b) 对于  $\varepsilon_1 < \varepsilon_2$ , 在线性波导中, 导模不存在。但是, 在非线性波导中, 导模是存在的。其基模存在截止值。由(4)式求不出该截止值。这是因为此时光功率密度  $\varepsilon_2 - \varepsilon_1 \leq \alpha A^2 < 2(\varepsilon_2 - \varepsilon_1)$ , (4)式失效。由文献[4], 根据 Jacobi 椭圆函数的性质以及光功率密度值的范围, 可得基模截止值的计算公式为

$$\nu_0 d = K(m) \quad (6)$$

$$\nu_0 = k(\alpha A^2 / 2)^{1/2} \quad (7)$$

$$m = 2 + 2(\varepsilon_1 - \varepsilon_2) / \alpha A^2 \quad (8)$$

其中  $\varepsilon_2 - \varepsilon_1 < \alpha A^2 < 2(\varepsilon_2 - \varepsilon_1)$ 。对于给定的  $kd$  值, 若从(6)式求不出截止时光功率密度值  $\alpha A^2$ , 则此时基模截止时光功率密度值  $\alpha A^2 = \varepsilon_2 - \varepsilon_1$ 。

## (2) 自散焦情形 ( $\alpha < 0$ )

对于自散焦情形 ( $\alpha < 0$ ), 光功率密度值  $|\alpha| A^2 \leq \varepsilon_1 - \varepsilon_2$ 。由文献[4]可得各个模

截止方程：

$$(1 - m) \operatorname{sn}(\nu_N d | m) = 0, \text{ (偶模)} \quad (9)$$

$$\operatorname{cn}(\nu_N d | m) = 0, \text{ (奇模)} \quad (10)$$

其中

$$\nu_N = k(\epsilon_1 - \epsilon_2 - |\alpha| A^2 / 2)^{1/2} \quad (11)$$

$$m = |\alpha| A^2 / [2(\epsilon_1 - \epsilon_2 - |\alpha| A^2 / 2)] \quad (12)$$

根据 Jacobi 椭圆函数的性质以及光功率密度值的范围, 可得

$$\nu_N d = NK(m), \quad (N = 1, 2, 3, \dots) \quad (13)$$

$$m = 1, \quad (N = 0) \quad (14)$$

至此, 我们求出了非线性对称平板光波导 TE 波截止值精确的计算公式 ( $K(m)$ ) 的计算精确度小于或等于  $3 \times 10^{-5}$ 。

从(5)式可以看出, 在线性情况时, 截止波数  $kd$  与  $N$ ,  $\epsilon_1$  和  $\epsilon_2$  有关。但是, 在非线性情形中,  $kd$  不仅与  $N$ ,  $\epsilon_1$  和  $\epsilon_2$  有关, 而且还与光功率密度  $|\alpha| A^2$  ( $\alpha$  任意) 有关。同样, 模式截止时光功率密度值与  $kd$ ,  $N$ ,  $\epsilon_1$  和  $\epsilon_2$  有关。

### 3. 数字计算结果和讨论

下面给出数字例子并与文献 [4, 6] 的结果比较。表 1 是不同光功率密度所对应的  $TE_1$  模截止波数。从表 1 可以看出,  $|\alpha| A^2$  越大,  $kd$  越小。

表 1  $TE_1$  模的截止波数 ( $\alpha > 0$ ,  $\epsilon_1 = 2.3104$ ,  $\epsilon_2 = 2.25$ )

$\alpha A^2$	0.02	0.04	0.10	1.00	10.0
$kd$	文献[6]	5.7252	5.2365	4.2968	1.7782
	文献[4]	5.7253	5.2365	4.2967	1.7777
	本文	5.7253	5.2365	4.2967	1.7777

表 2 是  $kd = 15$  时,  $TE_3 \sim TE_5$  模截止光功率密度值。此时  $TE_0 \sim TE_2$  模没有截止。

表 2  $TE_3 \sim TE_5$  模截止光功率密度 ( $\alpha > 0$ ,  $\epsilon_1 = 2.3104$ ,  $\epsilon_2 = 2.25$ ,  $kd = 15$ )

$\alpha A^2$	$TE_3$	$TE_4$	$TE_5$
$\alpha A^2$	文献[6]	0.0519	0.1579
	文献[4]	0.0519	0.1578
	本文	0.0519	0.1578

表 3 是  $kd = 15$ ,  $\alpha < 0$  时,  $TE_0 \sim TE_2$  模截止光功率密度  $|\alpha| A^2$ 。从表 3 可以看出, 在求基模光功率密度时, 文献[6]的公式失效。

表 3  $TE_0 \sim TE_2$  模截止光功率密度  $|\alpha| A^2$  ( $\alpha < 0$ ,  $\epsilon_1 = 2.3104$ ,  $\epsilon_2 = 2.25$ ,  $kd = 15$ )

$ \alpha  A^2$	$TE_0$	$TE_1$	$TE_2$
$ \alpha  A^2$	文献[6]	*	0.0567
	文献[4]	0.0604	0.0578
	本文	0.0604	0.0578

\* 公式失效, 下同。

下面考虑  $\epsilon_1 < \epsilon_2$  和  $\alpha > 0$  的例子。表 4 是  $kd = 15$  时,  $TE_0 \sim TE_4$  模截止光功率密度  $|\alpha| A^2$ 。

表 4  $TE_0 \sim TE_4$  模截止光功率密度 ( $\alpha > 0$ ,  $\epsilon_1 = 2.1904$ ,  $\epsilon_2 = 2.25$ ,  $kd = 15$ )

		$TE_0$	$TE_1$	$TE_2$	$TE_3$	$TE_4$
$\alpha A^2$	文献[6]	*	*	0.1551	0.2274	0.3332
	文献[4]	0.1179	0.1204	0.1535	0.2268	0.3327
	本文	0.1179	0.1204	0.1535	0.2268	0.3327

表 5 不同波数  $kd$  下  $TE_1$  模截止光功率密度 ( $\alpha > 0$ ,  $\epsilon_1 = 2.1904$ ,  $\epsilon_2 = 2.25$ )

$kd$		5	7.5	10
$\alpha A^2$	文献[6]	0.2274	0.1551	0.1357
	文献[4]	0.2268	0.1535	0.1309
	本文	0.2268	0.1535	0.1309

表 5 是不同波数  $kd$  所对应的  $TE_1$  模截止光功率密度  $\alpha A^2$ 。

从表 1 至表 5 可以看出, 本文结果与文献[4]比较, 完全符合。但是, 本文公式所需的计算量已大大减少。甚至用计算器 (如 SHARP EL-5812) 也可计算截止光功率密度值 (运算法用二分法)。文献[6]的公式尽管十分简单, 但是其适用范围受到限制。本文公式不受这些限制。

### 参 考 文 献

- [1] C. T. Seaton et al., *Opt. Eng.*, 24(1985)4, 593—599.
- [2] G. I. Stegeman et al., *J. Opt. Soc. Am. B*, 6(1989)4, 652—662.
- [3] N. N. Akhmediev et al., *Opt. Spectr. (USSR)*, 53(1982)5, 540—542.
- [4] K. Ogusu, *Opt. and Quantum Electron.*, 19(1987)1, 65—72.
- [5] M. R. Ramadas et al., *J. Lightwave Tech.*, 7(1989)12, 1901—1905.
- [6] Zhihao Chen et al., *Electron. Lett.*, 27(1991)1, 21—22.
- [7] M. Abramowitz et al., *Handbook of Mathematical Functions with Formulas, Graphs, and Mathematical Tables*, Dover, (1965).
- [8] M. J. Adams, *An Introduction to Optical Waveguides*, John Wiley and Sons, New York, (1981), Ch. 2.

## AN ACCURATE FORMULA FOR CUTOFF VALUES OF TE WAVES ON NONLINEAR SLAB OPTICAL WAVEGUIDE

Chen Zhihao Chen Xiyao Lai Heng Dai Yihuan

(Department of Physics, Fujian Normal University, Fuzhou 350007)

**Abstract** An accurate formula is derived for cutoff values of TE modes in the symmetric slab optical waveguide with a nonlinear thin film. Two examples are given. Computed results are in agreement with exact results in literatures.

**Key words** Nonlinear optics; Integrated optics; Optical waveguide